

鳥取大学 正員 ○藤村 尚  
 鳥取大学 正員 木山英郎  
 鳥取大学 学員 西村 強

## 1. はじめに

地下浅所の降下床モデルの解析に、Cundallの離散剛要素法(DBM)を応用する試みについて報告する。

## 2. DBMの概要

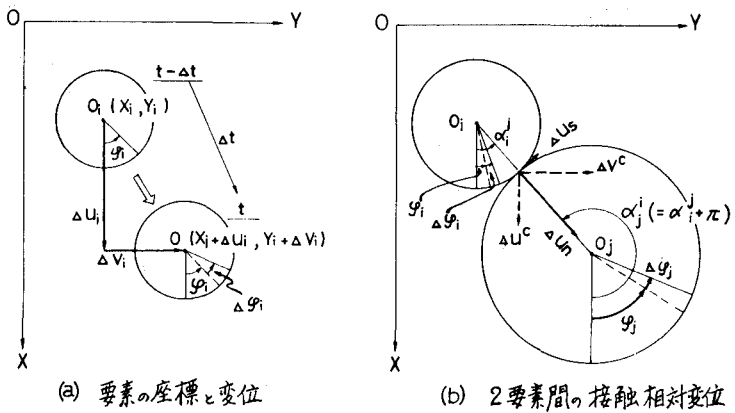
2つの岩塊が衝突するとき、岩塊は完全な弾性体ではないし、また接触点近傍の局部的には塑性変形や破壊などのため、不完全弾性衝突となる。そこで、岩塊を剛体とみなしつつ、岩塊のもつ弾性的および非弾性的性質は接触点間に挿入された弾性スプリング(剛性K)と粘性ダッシュボット(粘性c)で代表される。このとき、一つの岩塊(質量m)に注目すれば、その運動方程式は式(1)の形で略記される。

$$m\ddot{u} + \eta\dot{u} + Ku = 0 \quad (1)$$

これは減衰振動を表し、与えられたすべての岩塊についての同様な運動方程式を連立して解くことによって、運動状態から静止状態に至る岩塊の挙動を解析できる。以下、DBMにみける陽型差分近似の大筋を述べる。

円形要素*i*の時刻( $t-\Delta t$ )から( $t$ )に至る $\Delta t$ 間

の変位;  $\Delta U_i$ ,  $\Delta V_i$ ,  $\Delta \varphi_i$ を図-1(a)のように表示する。この要素*i*が、図-1(b)に示すように要素*j*に接触するとき、2要素間の法線方向および接線方向の相対変位 $\Delta U_n$ ,  $\Delta U_s$ は式(2)で計算でき、このときの摩擦力は、式(2)~(6)を用いて、結局式(7)のように計算される。



(a) 要素の座標と変位

(b) 2要素間の接触相対変位

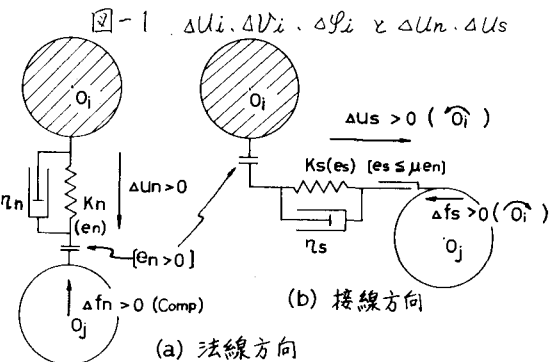


図-2

表-1 法線方向

接線方向

接觸相対変位	$\Delta U_n = (\Delta U_i - \Delta U_j) \cos \alpha_i^j + (\Delta V_i - \Delta V_j) \sin \alpha_i^j$	$\Delta U_s = -(\Delta U_i - \Delta U_j) \sin \alpha_i^j + (\Delta V_i - \Delta V_j) \cos \alpha_i^j$ + ( $r_i \Delta \varphi_i + r_j \Delta \varphi_j$ )
スプリング	$\Delta e_n = K_n \Delta U_n \quad : e_n^{(t)} = e_n^{(t-\Delta t)} + \Delta e_n$	$\Delta e_s = K_s \Delta U_s \quad : e_s^{(t)} = e_s^{(t-\Delta t)} + \Delta e_s$
ダッシュボット	$\Delta d_n = \eta_n \Delta U_n / \Delta t \quad : d_n^{(t)} = \Delta d_n$	$\Delta d_s = \eta_s \Delta U_s / \Delta t \quad : d_s^{(t)} = \Delta d_s$
スライダー		$\text{if }  e_s^{(t)}  > \mu e_n^{(t)}$ $e_s^{(t)} = \mu e_n^{(t)} \cdot \text{SIGN}[e_s^{(t)}], \quad d_s^{(t)} = 0$
	$\text{if } e_n^{(t)} < 0 : \quad e_n^{(t)} = d_n^{(t)} = 0$	$\text{if } e_s^{(t)} < 0 : \quad e_s^{(t)} = d_s^{(t)} = 0$
摩擦力分力	$f_n^{(t)} = e_n^{(t)} + d_n^{(t)}$	$f_s^{(t)} = e_s^{(t)} + d_s^{(t)}$

こうして注目する要素*i*に作用するX方向の力 $X_i$ , Y方向の力 $Y_i$ , 中心回りのモーメント $M_i$ は、これに接するすべての要素*j*についての総和(手で表示)をとって、式(8)のように求まる。

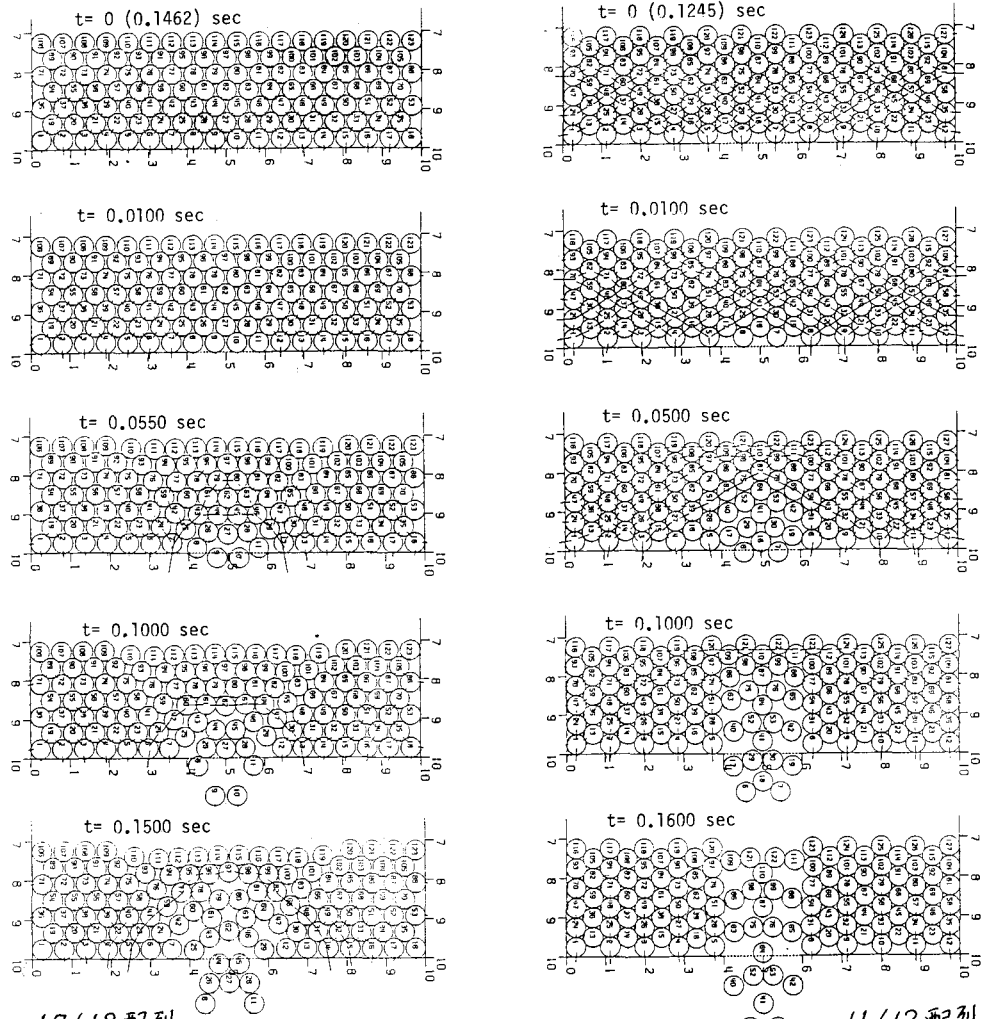


図-3 解析例 ( $D/0.5B \approx 3$ )

$$X_i^{(t)} = \sum_j \{-f_n^{(t)} \cos \alpha_i^j + f_s^{(t)} \sin \alpha_i^j\} + m_i g, \quad Y_i^{(t)} = \sum_j \{-f_n^{(t)} \sin \alpha_i^j - f_s^{(t)} \cos \alpha_i^j\}, \quad (8)$$

$$M_i^{(t)} = \sum_j \{-r_i f_s^{(t)}\}$$

上式より、要素  $i$  の加速度成分が式(9)で近似計算できる ( $I_i$ : 慣性モーメント)。

$$\ddot{U}_i^{(t)} = X_i^{(t)} / m_i, \quad \ddot{V}_i^{(t)} = Y_i^{(t)} / m_i, \quad \ddot{\Psi}_i^{(t)} = M_i^{(t)} / I_i \quad (9)$$

これを積分することによって、次の  $\Delta t$  間 ( $t \sim t + \Delta t$ ) の新しい変位;  $\Delta U_i$ ,  $\Delta V_i$ ,  $\Delta \Psi_i$  が定められる。

以上の操作を繰り返すことによって、各要素の位置・速度・摩擦力などが  $\Delta t$  間隔ごとに順次計算できる。

### 3. 解析例

降下床の幅  $B = 8\text{cm}$ , 深さ  $D \approx 12\text{cm}$  (土被り比  $D/B \approx 3$ ) の場合について、粒子半径  $r = 1.0\text{cm}$ , 密度  $\rho = 2.65\text{g/cm}^3$ ,  $E = 750\text{kN/cm}^2$  [73.5 MPa],  $\nu = 0.3$ ,  $\Delta t = 10^{-4}\text{s}$  として、諸定数を表-2のように算定し、DBM解析にて結果の一例を図-3に示す。

	粒子-粒子	粒子-壁面
$K_n/\rho g (\text{cm})$	$3.64 \times 10^4$	$7.28 \times 10^4$
$\eta_n/\rho g (\text{cm/s})$	$2.16 \times 10^5$	$3.06 \times 10^5$
$K_s/\rho g (\text{cm})$	$0.91 \times 10^4$	$1.82 \times 10^4$
$\eta_s/\rho g (\text{cm/s})$	$1.08 \times 10^5$	$1.53 \times 10^5$
$\mu [\phi]$	$0.577 [30^\circ]$	$0.176 [10^\circ]$